

京都大学 工博 松尾新一郎
 ○ 大阪工業大学 畠田義
 関西大学 理修 西田一彦

1. はじめに

土のせん断強度は、フーロンの式 $S = C_f + \sigma \tan \phi_c$ とし、 ϕ_c をそれぞれ破壊時の粘着力および摩擦角としている。したがって、 C_f はひずみ量を無視したときにその土のもつ最大抵抗の係数といふことである。けれども、マサ土の場合、このようにひずみ量を考慮に入れていいかの ϕ_c が正しい値を正しい値として採用してよいかが疑問に思われる。マサ土、とくに細いマサ土の三軸圧縮試験では、ほとんどの供試体が 15% 以上のひずみ量でようやく破壊に達している。土質工学的を見地いらすれば、このような大きなひずみ量以前の小さなひずみ量における抵抗値で、実質的な破壊を感じてからの方が適正のようと考えられる。このような疑問を出发点として、ひずみの進行とともに粘着力と摩擦角の増加を主として追跡するための実験を行った。実験材料として、図-1 に示すような内緑岩の砕化したマサ土、すなわちマサ土としては細かくコーンステンナーの大さき方に属するものを使用した。実験結果になりのバラッキが少られ、修正したところも多數あるので、数量的でなくとりも、傾向例などを強調して報告する。

2. 実験方法

試料は、阪急池田線花屋敷から採取された内緑岩の砕化したマサ土で、2.0 mm 以上の粒子を取り除いた。粒径分布を図-1 に示す。供試体は、気乾状態にされたかく乱試料に水を加え長時間保育したのち、内壁がよくみがかれたモールド内に試料を入れ、ゆっくりと荷重をかけ不飽和土種々の間げき比のものを作成した。また、供試体は直径 5 cm、高さ 1.1 cm の均等に締固められているかどうかを数回の供試体サンプリングして吟味した。三軸圧縮試験機を用い、緩速ひずみ排気法（不飽和土のため）をとった。

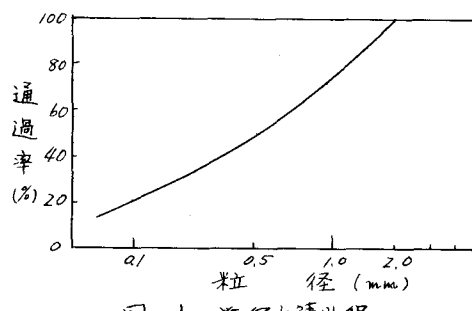


図-1 粒径分布曲線

3. 実験結果の解説とその考察

図-2 に示す実験結果からわかるように、破壊時のせん断ひずみ C_f の値は、含水比および間げき比の変化に対して特別な関係は認められず、中には $33^\circ \sim 37^\circ$ 程度、 C_f は常に零値を示している。ここにおいて、とくに注目すべきことは、同一間げき比の不飽和土供試体において、含水比が異っていても C_f の値に差異はみられない、ほど一定であるということである。けれども、通常の結果とは逆に、マサ土は水に対して非常に敏感で、このことはマサ土の大きな欠点の一つとして認識されているものと矛盾している。この結果をよくみるとこれほどの最終値 (C_f) が違うまいといふことのなぜひずみ量の変化に対する

(けれども)

3抵抗値は、含水化、間ゲキ比の程度によって大きく影響を受けるので、順次説明を行っておく。図-3は、応力-ひずみ曲線の一例である。このひずみ曲線から、同一ひずみ量のモールの円を描き、各ひずみの中継を描くと図-4のようになる。図からわかるように、破壊にいたるまでの各ひずみにおける中継は、垂直応力が大きくなるほど中継の勾配が小さくなる。この図から、各側圧におけるひずみ量の中継の接線角度(θ)を削り、図示すると図-5のようになる。

この図から、側圧が大とすればなるほど、小さいひずみ量で摩擦力が大きく働くことがわかる。このことは、側圧による拘束力の影響で、側圧が低い場合、横方向のひずみ量が大きいため、土粒子の移動運動量(モービライズ量)も大きくなる。したがって、側圧が大きい場合にくらべ、土粒子の移動運動量が大きいため、比較的初期ひずみのときから、粘着力、すべり摩擦およびすべり摩擦力が大きく作用し、あるひずみ量をこすと土粒子の運動形態は一時停止となり、抵抗摩擦角の大きさもほとんど変化なくする。

一方側圧が大い場合は、拘束力が大きくなるので横方向のひずみ量が小さく、側圧が小さい場合に比べ、土粒子の運動量が小さく、また破壊にいたるまで土粒子の運動形態も終始異なっているものと考えられる。そのため、供試体の破壊にいたるまで、これより摩擦が順次増大し、粘着力もあるひずみまで増加する。また、側圧の大きい場合、初期のひずみにおいては、摩擦力のうちすべり摩擦の方が、すべり摩擦よりも大きいと考えられる。このように上述のこととは、ダイレクションが大きく作用するといふことである。

つぎに、間ゲキ比が異なる場合、間ゲキ比が小さいものほど摩擦力が初期から急激に働き、間ゲキ比

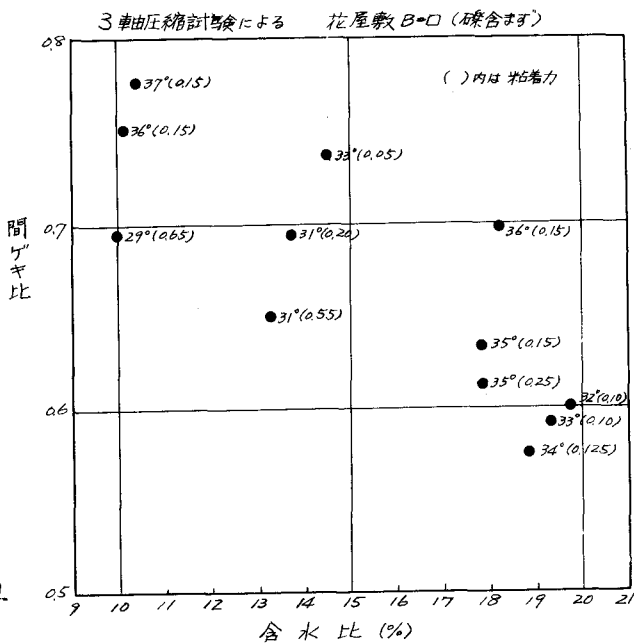


図-2 強度係数と含水比・間ゲキ比

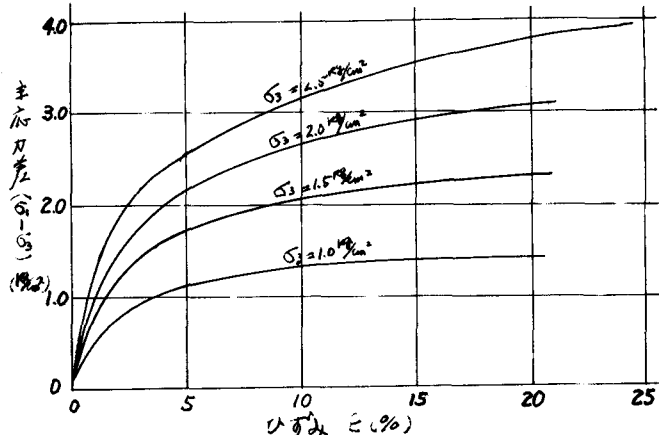


図-3 応力-ひずみ曲線

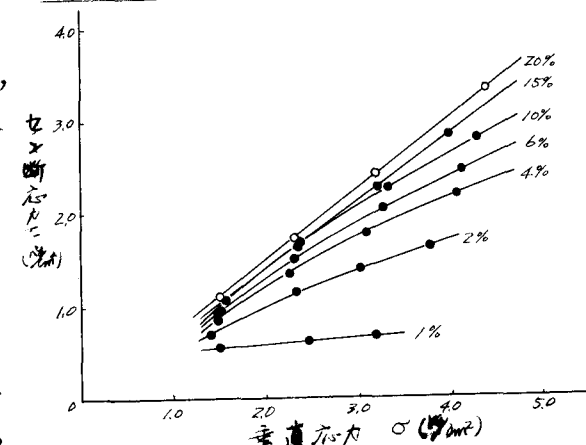


図-4 各ひずみにかける中継

が大きいものほど摩擦力は順次作用する。また、同一荷重で同じ程度の間隔比において、含水比が異なる場合を図-7において、含水比の低いものほど、高いものにくらべ摩擦力がはやく作用する。

粘着力とひずみの関係を知るために、多数の実験を行ったが、数値のはうつきが大きく、明確な相互関係をはくすることは困難であった。しかし実験結果より、ひずみ量2%以内で最大粘着力を示し、それ以上のひずみ量になると凡なり急激にその値は減少していくことがわかつた。

なお、摩擦力と粘着力のひずみに対する相互関係を説明するため、粗面は板の上に粗面を有する材をのりつけたり、ケル简单な模型を考える。この材料に、垂直方向のヒンジ応力を与えると図-8のようにせん断応力が小さく、ひずみ量の小さい時は、粘着力が急激に大きくなると、摩

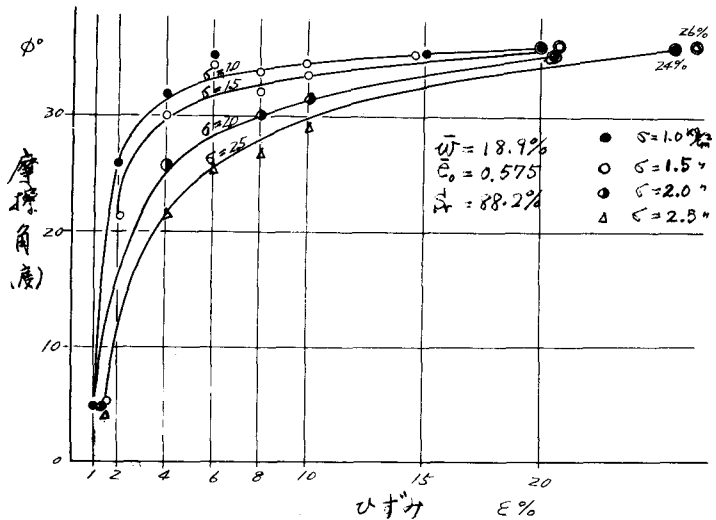


図-5 ひずみ量と摩擦角

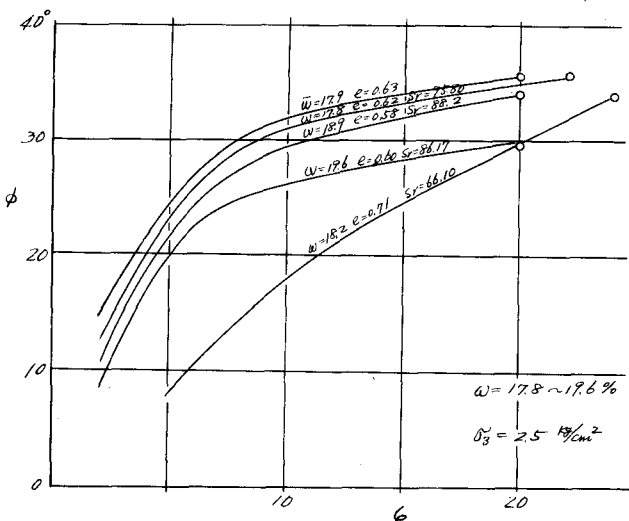


図-6 ひずみ量と摩擦角

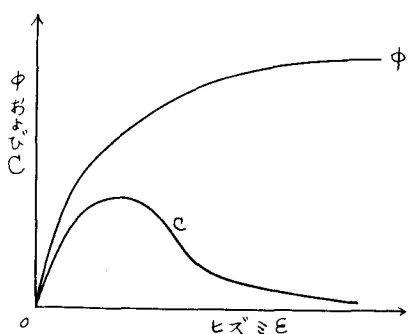


図-8 ひずみ量と中心

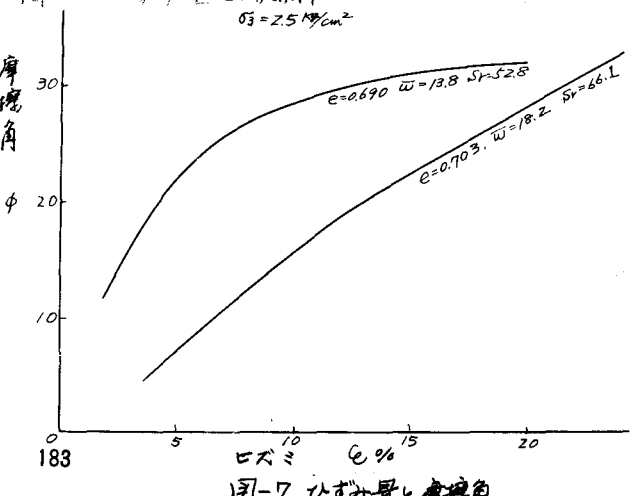


図-7 ひずみ量と中心

摩擦力は少しずつ増大する。ついで、2%程度のひずみ量に達すると、粘着力は増大から減少へと向かい、摩擦力がせん断抵抗値の主力となる。マサ土を普通のシルト層土に比較した場合、粘着力とひずみの関係を考えると、図-9のようないずれもマサ土は破壊時の粘着力よりもかなり大きな値をもつていて、普通の土にくらべ、非常にひずみに対して弱く、そのことはまたひずみ試験を行なうときにもあらわれるようである。なお、マサ土の粘着力の値は、中值にくらべるとあまり期待できないとするならば、 $C=0$ （設計上）として安全側にとった方が実際的であるようと思われる。

4. あとがき

実際の設計にあたって、前述したとおり試験時の最大値をとることとは、ひずみの見地から工学的に問題である。したがって、ひずみの抵抗値を実際上の破壊とみなすかが、この問題のカギとなる。また、三軸試験のひずみは純ひずみで、実際現場におけるせん断ひずみ形態とは、多くの場合異なり、その間の調整にも問題がある。これらのことを証明するためには、新しい方法でより実験を行わねばならない。

なお、多数の実験資料と、現在続行中のものもあり、会場において報告する予定である。

参考文献

- ① 松尾邦一郎、福田謙、西田一彦、(1968)マサ土のコンステンシーと工学的性質について、昭和43年度土木学会関西支部講演概要集、P.P.173-175

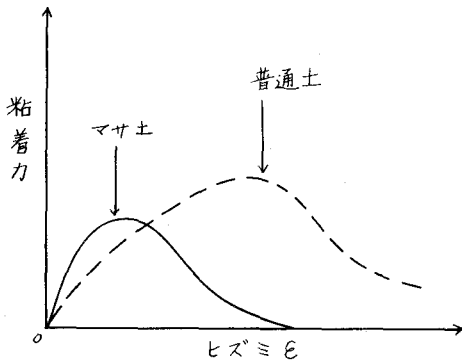


図-9 マサ土・普通土の粘着力